

# Flower-PROV: Captura Distribuída de Dados de Proveniência em Experimentos de Aprendizado Federado\*

Camila Lopes<sup>1</sup>, Alan L. Nunes<sup>1</sup>, Cristina Boeres<sup>1</sup>,  
Lúcia M. A. Drummond<sup>1</sup>, Daniel de Oliveira<sup>1</sup>

<sup>1</sup>Instituto de Computação - Universidade Federal Fluminense  
Av. Gal. Milton Tavares de Souza, s/nº, Boa Viagem – Niterói/RJ – Brasil

{camila.ol, alan.lira}@id.uff.br {boeres, lucia, danielcmo}@ic.uff.br

**Abstract.** *Federated Learning (FL) is a distributed technique that allows multiple users to train models collaboratively without accessing private or sensitive data. The training of a model requires multiple iterations, and the duration depends on the several configurations set, e.g., hyperparameters. Analyzing hyperparameters during the FL workflow allows for a better understanding of the model and opens up opportunities for improvement. This paper introduces an FL framework named Flower-PROV, which aims to capture provenance data during training to track configurations and metrics, enabling the analysis of hyperparameters in real time. The provenance database follows the W3C PROV recommendation.*

**Resumo.** *O Aprendizado Federado (AF) é uma técnica descentralizada que possibilita que vários usuários treinem modelos de Aprendizado de Máquina de forma colaborativa, sem precisar acessar dados privados ou sensíveis. O treinamento de um modelo pode exigir várias iterações, e a duração de cada iteração depende diretamente das configurações definidas, como os valores dos hiperparâmetros. Analisar os hiperparâmetros durante o treinamento permite uma melhor compreensão do modelo treinado e abre oportunidades para melhorias. Este artigo apresenta o arcabouço Flower-PROV que tem como objetivo capturar dados de proveniência durante o treinamento para rastrear configurações e métricas de avaliação, possibilitando a análise dos hiperparâmetros em tempo real. O banco de dados de proveniência segue a recomendação W3C PROV, facilitando a comparação, explicação e reprodução desses experimentos.*

## 1. Introdução

Na última década, o campo de Aprendizado de Máquina tem recebido considerável atenção da comunidade acadêmica e de empresas. Esse interesse foi impulsionado principalmente pela disponibilidade abundante de dados para treinamento e pela disseminação do Aprendizado Profundo (*Deep Learning*) [Goodfellow et al. 2016], uma técnica fundamental para o reconhecimento de padrões em larga escala. No entanto, apesar dos avanços nessas técnicas, os *workflows* de treinamento de modelos exigem que todos os dados estejam acessíveis, o que pode se tornar problemático devido a preocupações com a *privacidade*. Muitos conjuntos de dados contêm informações sensíveis que, se expostas, podem representar riscos

---

\*Video da demonstração da ferramenta disponível em <https://youtu.be/-dV2QT7wfAc>. O presente trabalho foi realizado com apoio da Coordenação de Aperfeiçoamento de Pessoal de Nível Superior - Brasil (CAPES) - Código de Financiamento 001. Os autores gostariam ainda de agradecer ao CNPq (*grant* 311898/2021-1) e FAPERJ (*grant* E-26/202.806/2019) pelo apoio financeiro.

significativos. Embora existam técnicas de anonimização de dados, como a Privacidade Diferencial [Dwork 2006], nem sempre é possível obter modelos eficientes.

Com o intuito de preencher essa lacuna entre o treinamento de modelos e a preocupação com a privacidade, surgiu o conceito de Aprendizado Federado (AF) [McMahan et al. 2017]. O AF é uma abordagem distribuída que possibilita a colaboração de diversos clientes (*i.e.*, *workers*) no treinamento de modelos, ao mesmo tempo em que mantém seus dados de treinamento privados, sem a necessidade de expor informações sensíveis. O modelo final é obtido por meio de iterações (*i.e.*, *rounds*), em que cada cliente treina seu modelo localmente e envia uma versão atualizada para o servidor, que agrega os modelos treinados por cada cliente e devolve os parâmetros atualizados ao fim da iteração.

Apesar da evolução do AF nos últimos anos [Li et al. 2020], ainda se fazem necessários mecanismos que permitam a análise e o monitoramento do treinamento de um modelo. Cada iteração do *workflow* usando AF pode durar de minutos a várias horas, já que o tempo de treinamento e a qualidade do modelo treinado em cada iteração estão diretamente associados ao conjunto de dados de entrada e à escolha de valores de hiperparâmetros. Uma escolha ruim pode levar a um desperdício de tempo e recursos, uma vez que o usuário só é capaz de avaliar o resultado no fim do treinamento. Uma opção interessante é analisar os valores das métricas de avaliação (*e.g.*, acurácia) após cada iteração e, eventualmente, tomar ações como interromper o treinamento e reiniciá-lo com novos valores de hiperparâmetros.

Os dados de proveniência [Freire et al. 2008] se apresentam como uma escolha natural para registrar caminho de derivação dos dados ao longo do *workflow* de treinamento de um modelo, fornecendo uma visão global dos dados com suas dependências. Por meio dos dados de proveniência, o usuário é capaz de consultar e analisar como os dados são produzidos em cada iteração, consultando valores de hiperparâmetros, métricas de avaliação, *etc.* Embora o uso de proveniência para compreensão de treinamento de modelos não seja algo novo [Chapman et al. 2022, Pina et al. 2023], ainda existem poucas propostas no contexto do AF [Peregrina et al. 2022]. Entretanto, as soluções propostas ou não capturam o histórico de derivação completo (focando apenas em atribuição de responsabilidades, ou seja, nos agentes que executam as atividades do *workflow* e não nas atividades em si), ou possuem representações proprietárias para os dados que não são aderentes a padrões de representação de proveniência como o W3C PROV [Groth and Moreau 2013].

Neste artigo de demonstração, apresentamos uma extensão do arcabouço *Flower* [Beutel et al. 2020], denominada *Flower-PROV*, que tem como objetivo facilitar a gerência e consulta de dados de proveniência em experimentos de AF. O arcabouço foi desenvolvido com foco em aplicações *Cross-Silo* (onde o número de clientes é reduzido). O *Flower-PROV* permite a captura automática e distribuída de dados de proveniência retrospectiva (*r-prov*) e prospectiva (*p-prov*), que incluem informações como valores de hiperparâmetros, acurácia, *etc.* Para avaliação, realizamos experimentos de treinamento de um modelo de classificação com base no conjunto de dados CIFAR-10 [Krizhevsky 2009]. A base de proveniência segue o padrão W3C PROV e permite que os usuários realizem consultas em tempo de execução, o que facilita a interpretação e análise dos resultados obtidos. O restante deste artigo está organizado da seguinte forma: na Seção 2, apresentamos a arquitetura do *Flower-PROV*; na Seção 3, descrevemos a demonstração realizada para ilustrar a utilização e benefícios do *Flower-PROV*; e, por fim, na Seção 4, apresentamos as conclusões e perspectivas futuras deste trabalho.

## 2. O Arcabouço Flower-PROV

Conforme mencionado anteriormente, o Flower-PROV estende o arcabouço Flower [Beutel et al. 2020] adicionando capacidade analítica do treinamento por meio da captura automática e distribuída de dados de proveniência, onde um servidor é responsável pela agregação do modelo e cada cliente treina modelos locais. A Figura 1 apresenta a arquitetura do Flower-PROV, onde os retângulos em cinza claro representam as extensões propostas ao arcabouço original.

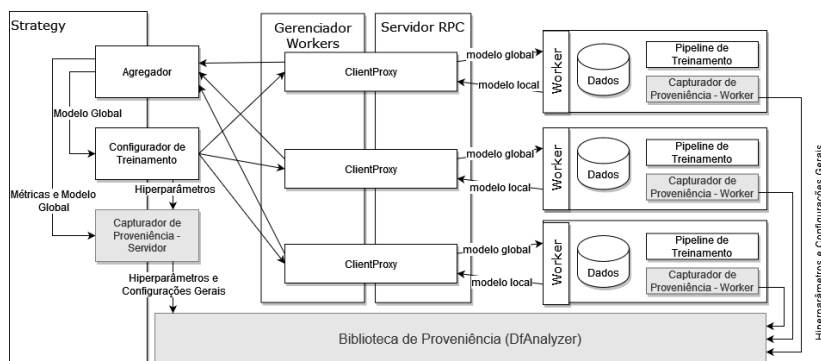


Figura 1. Arquitetura do Flower-PROV

A arquitetura do Flower-PROV é composta por cinco componentes principais: (i) *Strategy*, (ii) Gerenciador de Clientes, (iii) Servidor RPC, (iv) Clientes e (v) Biblioteca de Proveniência. O *Gerenciador de Clientes* é responsável por amostrar os clientes que tem como objetivo treinar os modelos locais. Em coordenação com o *Servidor RPC*, ele gerencia vários objetos *ClientProxy*, que são objetos associados a um *Cliente* conectado ao *Servidor*. Um *ClientProxy* é responsável por enviar e receber mensagens para cada um dos clientes, que realizam o treinamento do modelo local. Toda a orquestração do *workflow* de AF é realizada pelo componente *Strategy*, que prepara a próxima iteração de AF no servidor e envia as configurações para os clientes envolvidos no processo de treinamento. Após cada cliente gerar um novo modelo local, o *Strategy* recebe as atualizações, *e.g.*, pesos de uma rede neural, e agrega os resultados no componente *Agregador*. Após a agregação, o *Strategy* avalia o modelo agregado no componente *Configurador de Treinamento*, de acordo com as métricas de avaliação escolhidas (*e.g.*, acurácia). Todos os passos mencionados até o momento já faziam parte do arcabouço Flower original.

Em cada uma das etapas mencionadas anteriormente, os dados de proveniência são capturados por componentes específicos. O componente responsável por receber mensagens contendo os dados de proveniência do servidor e dos clientes e estruturá-los em uma forma que possa ser consultada é a *Biblioteca de Proveniência*. Na versão atual do Flower-PROV, a *Biblioteca de Proveniência* escolhida é uma extensão da biblioteca de proveniência DfAnalyzer [Silva et al. 2020], que fornece métodos genéricos para capturar e consultar dados de proveniência. Vale ressaltar que a DfAnalyzer foi estendida para ser acoplada ao Flower-PROV, pois não permitia a representação de ciclos, algo inerente ao processo de AF. O Flower-PROV envia os dados de proveniência capturados para a DfAnalyzer de maneira assíncrona, sem interferir no desempenho do experimento de AF.

No lado do servidor, o componente *Capturador de Proveniência - Servidor* captura metadados relacionados às etapas de agregação e avaliação, como as métricas de avaliação

e qual o modelo enviado aos clientes. As atividades e metadados do lado do cliente são coletados usando o componente *Capturador de Proveniência - Cliente*. É importante ressaltar que toda a captura nos clientes é realizada de forma distribuída. Todos os dados são armazenados pela *Biblioteca de Proveniência* em um banco de dados de proveniência compatível com o padrão W3C PROV e estão disponíveis em tempo de execução, *i.e.*, assim que são capturados, e podem ser consultados, o que permite utilizar esses dados para monitoramento. Na versão atual, o banco de dados de proveniência se encontra armazenado no SGBD colunar MonetDB<sup>1</sup>. O Flower-PROV tem código aberto e está disponível em <https://github.com/UFFeScience/Flower-PROV>.

### 3. Demonstração

A demonstração do Flower-PROV tem como estudo de caso a arquitetura de rede neural MobileNetV2 [Sandler et al. 2018], uma rede neural convolucional (CNN) de visão computacional. O conjunto de dados utilizado foi o CIFAR-10 [Krizhevsky 2009], um conjunto de dados multi-classe balanceado composto por imagens coloridas de  $32 \times 32$  pixels, divididas em 10 classes, cada uma contendo 6.000 imagens. No total, foram utilizadas 50.000 imagens ( $\approx 83,33\%$ ) para treinamento e 10.000 ( $\approx 16,66\%$ ) para teste. Para simular o cenário que requer privacidade de dados no Flower-PROV, cada cliente recebeu uma partição balanceada e distinta do conjunto de dados original do CIFAR-10 gerada com a ferramenta *dataset-splitter*<sup>2</sup>, desenvolvida por um dos autores. Além disso, a demonstração usa uma estratégia de agregação de pesos síncrona, com envio dos modelos locais ao servidor no final de cada iteração, o que se traduz em um overhead intrínseco de comunicação.

A demonstração se inicia com a apresentação dos *scripts* de execução do servidor e dos clientes. Neles, são definidos os pontos de captura de dados de proveniência onde são invocados os componentes *Capturadores de Proveniência*. Deve ser definido que tipos de dados são capturados (*i.e.*, proveniência prospectiva ou *p-prov*). Um exemplo é apresentado na Figura 2 onde o *template* dos dados que serão capturados na etapa de configuração do servidor são definidos. Podemos perceber que os parâmetros de interesse (*e.g.*, *server\_id*, *num\_rounds* e *enable\_ssl*) são definidos e seus valores serão capturados durante o treinamento do modelo com o Flower-PROV. O usuário pode adicionar outros parâmetros conforme a necessidade de análise. Na demonstração planejada, consideramos como base um cenário com um servidor e três clientes.

```

1  tf1 = Transformation("ServerConfig")
2  tf1_input = Set(
3    "ServerConfig",
4    SetType.INPUT,
5    [
6      Attribute("server_id", AttributeType.NUMERIC),
7      Attribute("address", AttributeType.TEXT),
8      Attribute("max_message_length_in_bytes", AttributeType.TEXT),
9      Attribute("num_rounds", AttributeType.NUMERIC),
10     Attribute("round_timeout_in_seconds", AttributeType.NUMERIC),
11     Attribute("accept_rounds_with_failures", AttributeType.TEXT),
12     Attribute("enable_ssl", AttributeType.TEXT),
13     Attribute("enable_dynamic_adjustment", AttributeType.TEXT),
14     Attribute("server_aggregation_strategy", AttributeType.TEXT),
15     Attribute("fraction_fit", AttributeType.NUMERIC),
16     Attribute("fraction_evaluate", AttributeType.NUMERIC),
17     Attribute("min_fit_clients", AttributeType.NUMERIC),
18     Attribute("min_evaluate_clients", AttributeType.NUMERIC),
19     Attribute("min_available_clients", AttributeType.NUMERIC),
20   ],
21 )
22

```

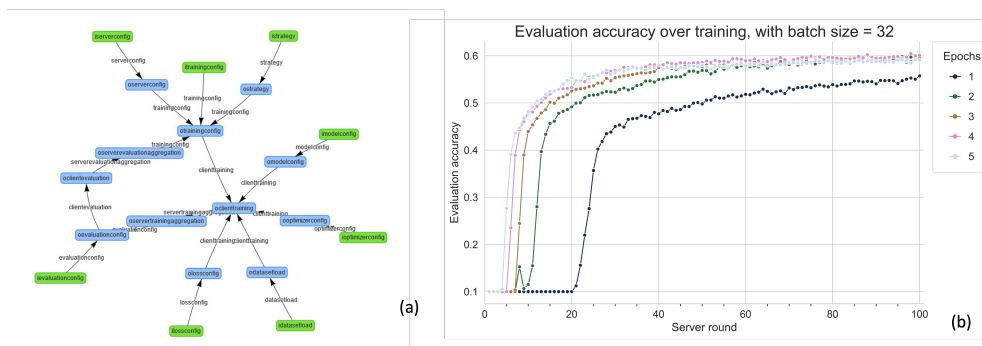
Figura 2. Definição de Proveniência Prospectiva (*p-prov*) do Flower-PROV

Na demonstração, o treinamento da MobileNetV2 é realizado variando os valores de dois hiperparâmetros: (i) *batch size*  $bs = \{32, 64, 128, 256, 512\}$  e número de épocas

<sup>1</sup><https://www.monetdb.org/>

<sup>2</sup>dataset-splitter - <https://github.com/alan-lira/dataset-splitter>

(*epochs*) do cliente  $e = \{1, 2, 3, 4, 5\}$ . Todos os outros hiperparâmetros foram mantidos em seus valores padrão (*e.g.*, 100 iterações). Durante o treinamento da CNN, os dados de proveniência são coletados e armazenados para consulta. O usuário pode então escolher entre (i) visualizar o grafo de proveniência (Figura 3(a)), onde cada transformação executada durante o treinamento (*e.g.*, agregação dos modelos locais, treinamento do modelo local, *etc*) e valores de hiperparâmetros podem ser visualizados, e (ii) submeter consultas a base de proveniência que possam ser usadas como insumo para elaboração de gráficos de acompanhamento, como por exemplo a evolução da acurácia do modelo ao longo das iterações. A consulta em SQL apresentada na Figura 4 retorna os valores de acurácia e perda por iteração do treinamento e da validação. O valor da acurácia por iteração é usado então para criar o gráfico apresentado na Figura 3(b). A partir dele, o usuário é capaz de observar possíveis discrepâncias na acurácia, o que pode indicar necessidade de ajustar outros hiperparâmetros no próximo treinamento, como o número de épocas.



**Figura 3. (a) Grafo que representa as transformações de dados realizadas durante o treinamento (b) Gráfico que apresenta a evolução da Acurácia por round**

```

1 SELECT st.server_round, st.accuracy, st.loss,
2 se.accuracy, se.loss, se.evaluation_time,
3 FROM oservertrainingaggregation as st
4 JOIN oserverevaluationaggregation as se
5 ON st.server_round = se.server_round;

```

**Figura 4. Consulta submetida à base de proveniência para extração de métricas**

## 4. Conclusão

O treinamento de modelos de Aprendizado de Máquina geralmente requer que todos os dados de treinamento estejam prontamente disponíveis. No entanto, essa disponibilidade irrestrita de dados para análise e descoberta de padrões pode apresentar riscos significativos de violação de privacidade, especialmente quando dados sensíveis estão envolvidos. A anonimização de dados é uma abordagem comumente aplicada para reduzir esse risco, mas não é uma tarefa simples e pode não gerar modelos eficientes. Para mitigar a chance de vazamento de dados sensíveis, o conceito de Aprendizado Federado (AF) foi proposto.

O AF permite que os usuários treinem seus modelos localmente, e posteriormente, um servidor agrega esses modelos locais em um modelo global. No entanto, monitorar e compreender o *workflow* de treinamento em um experimento de AF não é uma tarefa trivial. Este artigo de demonstração apresenta o arcabouço *Flower-PROV*, que tem como objetivo auxiliar a análise de configurações e adaptações de hiperparâmetros no treinamento de experimentos de AF por meio da captura distribuída de dados de proveniência.

O Flower-PROV permite a captura desses dados em cada cliente envolvido no treinamento, possibilitando consultas em tempo de execução e armazenamento em um banco de dados que segue o padrão W3C PROV. Além disso, ao adotar o PROV, o Flower-PROV é capaz de exportar os dados de proveniência em um formato que permite a comparação com resultados obtidos em outros arcabouços de AF que também seguem o padrão W3C PROV.

## Referências

- Beutel, D. J. et al. (2020). Flower: A Friendly Federated Learning Research Framework. *arXiv preprint arXiv:2007.14390*.
- Chapman, A., Lauro, L., Missier, P., and Torlone, R. (2022). DPDS: assisting data science with data provenance. *Proc. VLDB Endow.*, 15(12):3614–3617.
- Dwork, C. (2006). Differential privacy. *33rd ICALP 2006, Proceedings, Part II*, volume 4052, pages 1–12. Springer.
- Freire, J., Koop, D., Santos, E., and Silva, C. T. (2008). Provenance for Computational Tasks: A Survey. *Computing in Science & Engineering*, 10(3):11–21.
- Goodfellow, I., Bengio, Y., and Courville, A. (2016). *Deep Learning*. MIT Press.
- Groth, P. and Moreau, L. (2013). W3C PROV - An Overview of the PROV Family of Documents. Available at <https://www.w3.org/TR/prov-overview/>.
- Krizhevsky, A. (2009). Learning Multiple Layers of Features from Tiny Images. Technical report, University of Toronto.
- Li, T., Sahu, A. K., Zaheer, M., Sanjabi, M., Talwalkar, A., and Smith, V. (2020). Federated Optimization in Heterogeneous Networks. *Proceedings of Machine Learning and Systems (MLSys)*. mlsys.org.
- McMahan, H. B., Moore, E., Ramage, D., Hampson, S., and y Arcas, B. A. (2017). Communication-Efficient Learning of Deep Networks from Decentralized Data. *Proc. of 20th AISTATS*, pages 1273–1282.
- Peregrina, J. A., Ortiz, G., and Zirpins, C. (2022). Towards a Metadata Management System for Provenance, Reproducibility and Accountability in Federated Machine Learning. *Advances in Service-Oriented and Cloud Computing*, pages 5–18. Springer.
- Pina, D., Chapman, A., Oliveira, D., and Mattoso, M. (2023). Deep learning provenance data integration: a practical approach. *IPAW*, pages 1542–1550. ACM.
- Sandler, M., A. Howard, M. Z., Zhmoginov, A., and Chen, L. (2018). MobileNetV2: Inverted Residuals and Linear Bottlenecks. *Proceedings of the IEEE Conference on Computer Vision and Pattern Recognition*, pages 4510–4520.
- Silva, V., Campos, V., Guedes, T., Camata, J., de Oliveira, D., Coutinho, A. L., Valduriez, P., and Mattoso, M. (2020). Dfanalyzer: Runtime dataflow analysis tool for computational science and engineering applications. *SoftwareX*, 12:100592.